

**Préparé par le Service Nord-Américain des Glaces**

**Collaboration du Service canadien des glaces et  
du "National/Naval Ice Center"**

**2 Juin 2006**

**Aperçu Saisonnier**

**Eaux Arctiques d'Amérique du Nord**

**Été 2006**



## Table des matières

<b>Conditions glacielles dans les eaux arctiques d'Amérique du Nord .....</b>	<b>3</b>
Introduction .....	3
<b>Conditions glacielles et bref aperçu .....</b>	<b>5</b>
<b>La baie d'Hudson et ses abords .....</b>	<b>6</b>
Englacement et régime de glaces hivernal .....	6
Conditions glacielles observées .....	8
Aperçu pour la baie d'Hudson et ses abords .....	9
<b>L'est de l'Arctique.....</b>	<b>11</b>
Englacement et régime de glaces hivernal .....	11
Conditions glacielles observées .....	12
Aperçu pour l'est de l'Arctique.....	14
<b>Secteur de Baffin/Davis et Bassin Foxe .....</b>	<b>14</b>
<b>Chenal Parry .....</b>	<b>14</b>
<b>Extrême Arctique.....</b>	<b>15</b>
<b>L'ouest de l'Arctique .....</b>	<b>17</b>
Englacement et régime de glaces hivernal .....	17
Conditions glacielles observées .....	19
Aperçu pour l'ouest de l'Arctique.....	23

### Annexes

Annexe A – Clé du symbolisme internationale de glaces de mer .....	27
Annexe B – Stade de formation de la glace de mer.....	27
Annexe C - Horaire de radiodiffusion des conditions glacielles et maritimes dans l'Arctique.	27

### Liste des tableaux

Tableau 1: Prévisions du déglacement pour la baie d'Hudson et ses abords.....	10
Tableau 2: Prévisions du déglacement pour l'est de l'Arctique.....	16
Tableau 3: Prévisions du déglacement pour l'ouest de l'Arctique.....	24
Tableau 4: Données spécifiques sur la glace de mer et indice de difficulté applicables pour la côte nord de l'Alaska de 1953 à 2005 .....	25

### Liste des figures

Figure 1: Pourcentage de la normale des degrés-jours de gel du 1 <sup>er</sup> octobre 2005 au 30 avril 2006 .....	4
Figure 2: Écart des températures de la normale du 1 <sup>er</sup> au 15 mai 2006 .....	4
Figure 3: Carte régionale des glaces du 15 mai 2006 pour la baie d'Hudson et ses abords ...	8
Figure 4: Carte régionale des glaces du 15 mai 2006 pour l'est de l'Arctique .....	13
Figure 5: Carte régionale des glaces du 22 mai 2006 pour la mer de Beaufort.....	20
Figure 6: Carte régionale des glaces du 22 mai 2006 pour l'Archipel canadien .....	21
Figure 7: Carte régionale des glaces du 22 mai 2006 pour la mer de Chukchi .....	22

## Conditions glacielles dans les eaux arctiques d'Amérique du Nord

### Introduction

Le présent aperçu a été préparé par le Service nord-américain des glaces exploité conjointement par le Service Canadien des Glaces et le National Ice Center des États-Unis.

Le document donne une indication de la manière dont devraient se dérouler la débâcle et le dégagement des glaces dans les eaux arctiques d'Amérique du Nord. On y précise le lieu et le moment où devraient se produire la débâcle et le dégagement des glaces tout en accordant une attention particulière aux zones de navigation et d'autres activités maritimes.

L'aperçu se fonde sur l'analyse de l'évolution des conditions météorologiques et du régime de formation des glaces. On a procédé à une analyse approfondie des images Radarsat prélevées au cours de l'hiver précédent et de ce printemps. Les images satellitaires de NOAA, MODIS et ERS-1 ont également servi dans l'évaluation de la couverture de glace. Toutes les données ainsi recueillies sur les glaces ont été utilisées lors des analyses régionales pour l'Arctique et la Baie d'Hudson.

Ensuite, on compare les résultats des analyses des glaces et des conditions météorologiques aux conditions glacielles des années antérieures puis on les utilise, de concert avec les prévisions des vents et des températures pour le mois de juin, pour évaluer la débâcle et le dégagement des glaces dans les secteurs dignes d'intérêt. Le Centre Météorologique canadien indique le régime des températures à l'égard de la période s'étendant de la fin juin et la fin août. Tout écart par rapport à ces paramètres se répercute sur la forme que prendra la débâcle et le moment où elle surviendra.

Des tableaux indiquent, pour chaque région, les dates prévues de débâcle ou de dégagement ainsi que les dates médianes et les dates de l'année dernière. Au cours de l'été, on procédera à une mise à jour de ces données en publiant, deux fois par mois, des prévisions de trente jours en vue de permettre la planification des activités de navigation et autres en fonction de l'évolution des conditions. Ces prévisions comprendront également une indication du début du processus d'englacement dans l'ensemble des régions.

Les diffusions radio quotidiennes des cartes des glaces et des prévisions seront faites en fonction des opérations en cours dans les différents secteurs où la glace affecte les activités maritimes. L'annexe C renferme les liens affichant ces horaires de diffusion, les fréquences radio maritime de la NOAA en Alaska et la diffusion de radiotélécopies de la reconnaissance aérienne. L'annexe A fournit un lien à la clé des symboles des glaces illustrant les principaux points des symboles internationaux des glaces utilisés sur les cartes des glaces, alors que l'annexe B définit la terminologie des glaces qui est la plus souvent utilisée.

Services Nord-Américain des Glaces

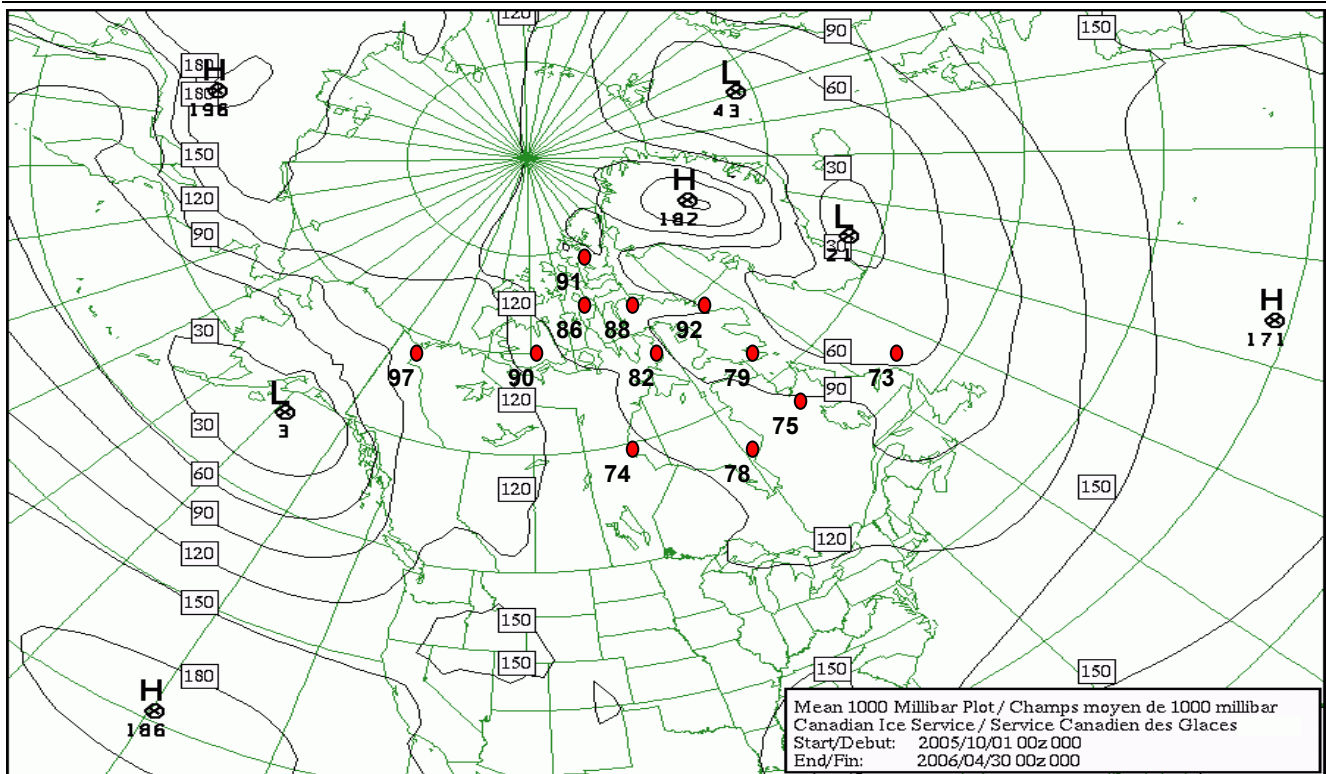


Figure 1: Pourcentage de la normale des degrés-jours de gel du 1<sup>er</sup> octobre 2005 au 30 avril 2006

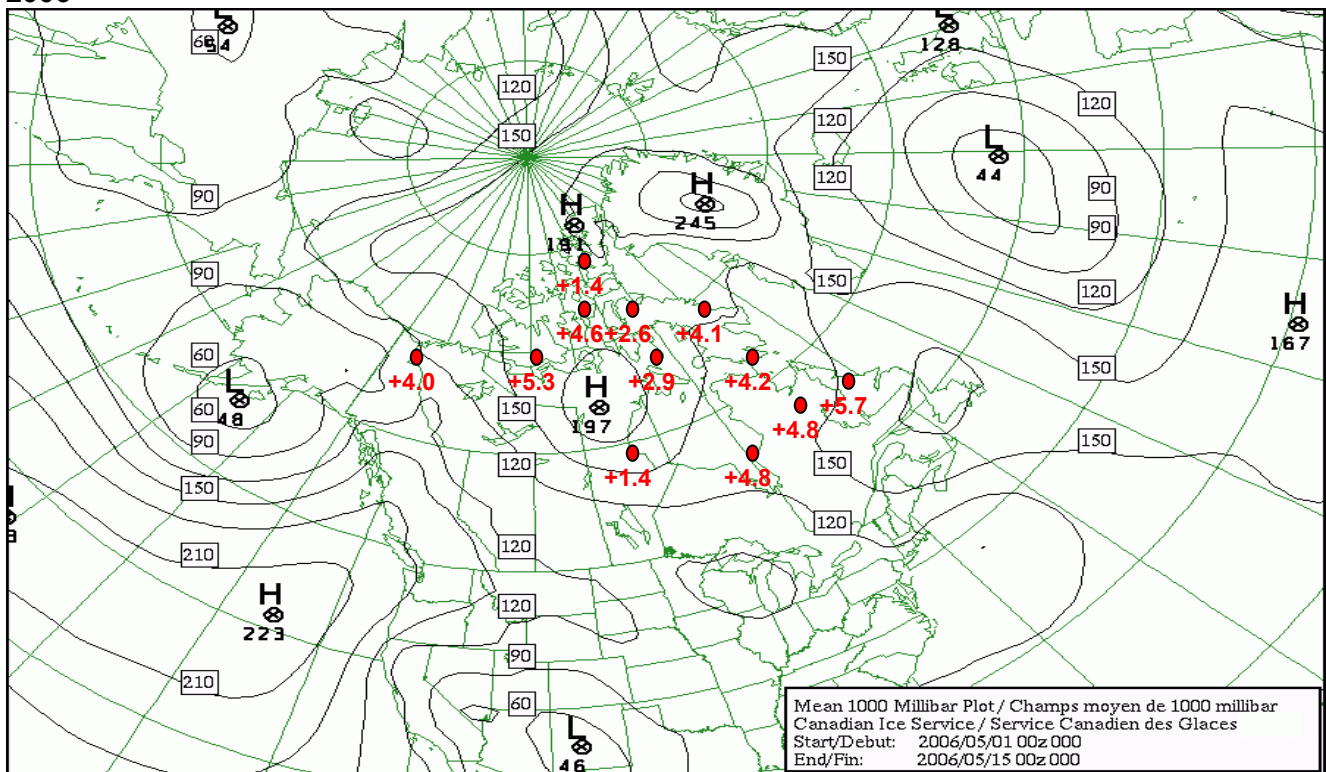


Figure 2: Écart des températures de la normale du 1<sup>er</sup> au 15 mai 2006

## Conditions glacielles et bref aperçu

La configuration isobarique moyenne à 1000 mb du 1<sup>er</sup> octobre 2005 au 30 avril 2006 est représentée à la figure 1. Elle indique une dépression se trouvant près du sud-est du Groenland avec un creux qui s'étire vers le nord-ouest jusque sur la partie nord de la baie de Baffin. Des vents du nord légers à modérés ont donc soufflé le long de la côte du Labrador, sur le détroit de Davis et sur la baie de Baffin. Un système dépressionnaire prédominant sur le golfe de l'Alaska a maintenu des vents d'est à nord-est légers à modérés sur la mer de Beaufort et le long de la côte de l'Alaska. Tout au long de la saison hivernale, les vents ont été généralement légers et variables sur le centre de l'Arctique, la baie d'Hudson et le détroit d'Hudson.

Entre octobre 2005 et avril 2006, les températures de l'air ont été en général supérieures à la normale sur tout l'Arctique. Elles se sont situées à 4C au-dessus de la normale sur la baie et le détroit d'Hudson et de 2 à 3C au-dessus de la normale dans l'est et l'ouest de l'Arctique et le long de la côte du Labrador. Avec des températures supérieures à la normale, l'accumulation en fonction des degrés-jours de gel a été en général de 3 à 12 pour cent inférieure à la normale sur l'ensemble de l'Arctique. Par contre, l'accumulation en fonction des degrés-jours de gel a été généralement plus faible sur la baie d'Hudson, le détroit d'Hudson et le long de la côte du Labrador, soit 26 pour cent sous la normale à Nain et Churchill et 21 pour cent sous la normale à Iqaluit. Ces données sont indiquées sur la Figure 1.

La configuration isobarique moyenne à 1000 mb pour la première moitié de mai apparaît à la Figure 2. On y voit que la dépression sur le sud-est du Groenland s'est déplacée sur l'Atlantique. Une zone anticyclonique s'est formée sur le centre de l'Arctique et une faible crête s'est étirée vers le nord jusqu'à Resolute. Une dépression s'est reformée sur les îles Aléoutiennes. Des vents légers à modérés du nord se sont levés sur la baie d'Hudson, le détroit d'Hudson et le bassin Foxe. Sur la mer de Beaufort et le long de la côte de l'Alaska, les vents ont été généralement légers à modérés d'est à nord-est. Ils ont été généralement légers et variables sur le reste de l'Arctique et le long de la côte du Labrador. Dans la première moitié de mai, les températures se sont généralement situées entre 4 et 5C sur l'ensemble de l'Arctique et entre 1 et 2C sur l'extrême Arctique et la partie ouest de la baie d'Hudson.

On prévoit des températures généralement près de la normale à supérieures à la normale pour l'ensemble de l'Arctique pour la première moitié du mois de juin mais des températures nettement supérieures à la normale sur la baie d'Hudson et ses abords. Pour le reste de la saison estivale, les températures seront, selon les prévisions, près de la normale à supérieures à la normale sur la majorité des secteurs. La débâcle va donc survenir beaucoup plus tôt qu'à l'habitude sur la baie d'Hudson et ses abords, sur le nord de la baie de Baffin, sur le bassin Foxe et sur l'est du détroit de Barrow. Compte tenu de la quantité de vieille glace plus importante qu'en temps normal qu'on y retrouve, la débâcle surviendra plus tard qu'à l'habitude sur le golfe Reine-Maud et à l'ouest de la baie Prudhoe.

## La baie d'Hudson et ses abords

### Englacement et régime de glaces hivernal

Entre octobre et la fin de janvier, les températures moyennes ont été au-dessus de la normale sur l'ensemble du secteur. Par contre, dans le détroit de Davis, elles se sont situées près de la normale en janvier. L'englacement a accusé un retard de deux à trois semaines sur la normale dans tous les secteurs. Par conséquent, à la fin de janvier, l'épaisseur calculée et l'épaisseur mesurée des glaces étaient inférieures à la normale.

De la glace nouvelle a commencé à se former le long des côtes de l'île Southampton, dans le détroit de Roes Welcome et le long de la côte nord-ouest de la baie d'Hudson durant la deuxième semaine de novembre. Vers la fin de novembre, il y avait de la glace nouvelle et de la glace grise le long des côtes ouest et sud de la baie d'Hudson, dans la baie James et dans le sud de la baie d'Ungava. Le nord-ouest de la baie d'Hudson, le détroit de Foxe et la zone au large de l'île Southampton jusqu'à l'ouest de Nottingham étaient principalement recouverts de glace grise. Le pack principal de glace dans le détroit de Davis se situe au nord du détroit de Cumberland et il y a des plaques de glace nouvelle le long de la côte sud de l'île de Baffin. L'englacement s'est produit trois semaines plus tard que la normale.

La baie d'Hudson et le détroit d'Hudson sont devenus entièrement recouverts de glace grise à mince de première année juste avant Noël. La principale lisière des glaces se situait alors près du cap Chidley et on signalait de la glace nouvelle le long de la côte du Labrador, de la glace grise dans la baie Frobisher et le détroit de Cumberland et de la glace blanchâtre à mince de première année au large. Il y avait une trace de vieille glace près de l'île Résolution.

Au début de février, l'ensemble de la baie d'Hudson et du détroit d'Hudson étaient recouverts de glace mince à moyenne de première année; la côte du Labrador et le nord-ouest de la baie d'Hudson, de glace blanchâtre à mince de première année; et le détroit de Davis, de glace mince de première année. L'étendue de la glace était proche de la normale. La trace de vieille glace se situait alors à 100 milles au nord de Nain.

En raison des températures nettement au-dessus de la normale en mars et en avril, les glaces se sont lentement épaissies au cours de la période, mais leur épaisseur est quand même demeurée inférieure à la normale. À la fin de mars, de la glace épaisse de première année recouvrait l'ensemble de la baie d'Hudson et du détroit d'Hudson. Le long de la côte du Labrador, on signalait de la glace moyenne à épaisse de première année avec une trace de vieille glace le long de la côte et les glaces se trouvaient plus près de la côte qu'en temps normal. En avril, les glaces étaient plus minces qu'en temps normal un peu partout. Par contre, l'étendue des glaces le long de la côte du Labrador est devenue presque normale.

---

## Services Nord-Américain des Glaces

---

Au début de mai, de larges chenaux de glace nouvelle et grise ont commencé à se former du côté nord du détroit d'Hudson, sur la côte nord-ouest de la baie d'Hudson et dans la partie nord de la baie Frobisher. On a signalé peu de changement dans les conditions glacielles ailleurs.

Dans la première moitié de mai, les températures moyennes de l'air se sont généralement situées de 4 à 6C au-dessus de la normale dans la plupart des secteurs, mais de 1 à 2C au-dessus de la normale dans le nord de la baie d'Hudson. À la mi-mai, les glaces le long de la côte du Labrador se sont retirées vers le nord pour se situer au nord de la baie Groswater. Les glaces étaient beaucoup plus lâches qu'en temps normal le long de la côte du Labrador, dans le nord et l'ouest du détroit d'Hudson, le nord de la baie d'Hudson et l'est de la baie Frobisher. De vastes zones d'eau libre se sont formées par endroits le long de la côte est de la baie d'Hudson, dans le sud de la baie James et dans le sud de la baie d'Ungava.

## Conditions glacielles observées

La carte régionale apparaissant à la figure 3 est fondée sur l'analyse des images de Radarsat et de la NOAA/MODIS relevées aux environs du 15 mai 2006. Cette carte fait ressortir certaines des caractéristiques suivantes.

- larges chenaux d'eau libre dans le nord-ouest du détroit d'Hudson, le long de la côte sud de l'île Southampton et par endroits le long de la côte est de la baie d'Hudson;
- lisière de glace dans le détroit de Davis plus près de la côte qu'en temps normal et en position à peu près normale le long de la côte du Labrador;
- conditions glacielles beaucoup plus lâches qu'en temps normal le long de la côte du Labrador, dans l'ouest du détroit d'Hudson et dans l'extrême nord de la baie d'Hudson;
- glaces beaucoup plus minces qu'en temps normal sur tout le secteur et banquise côtière moins importante qu'à l'habitude près des îles Belcher.

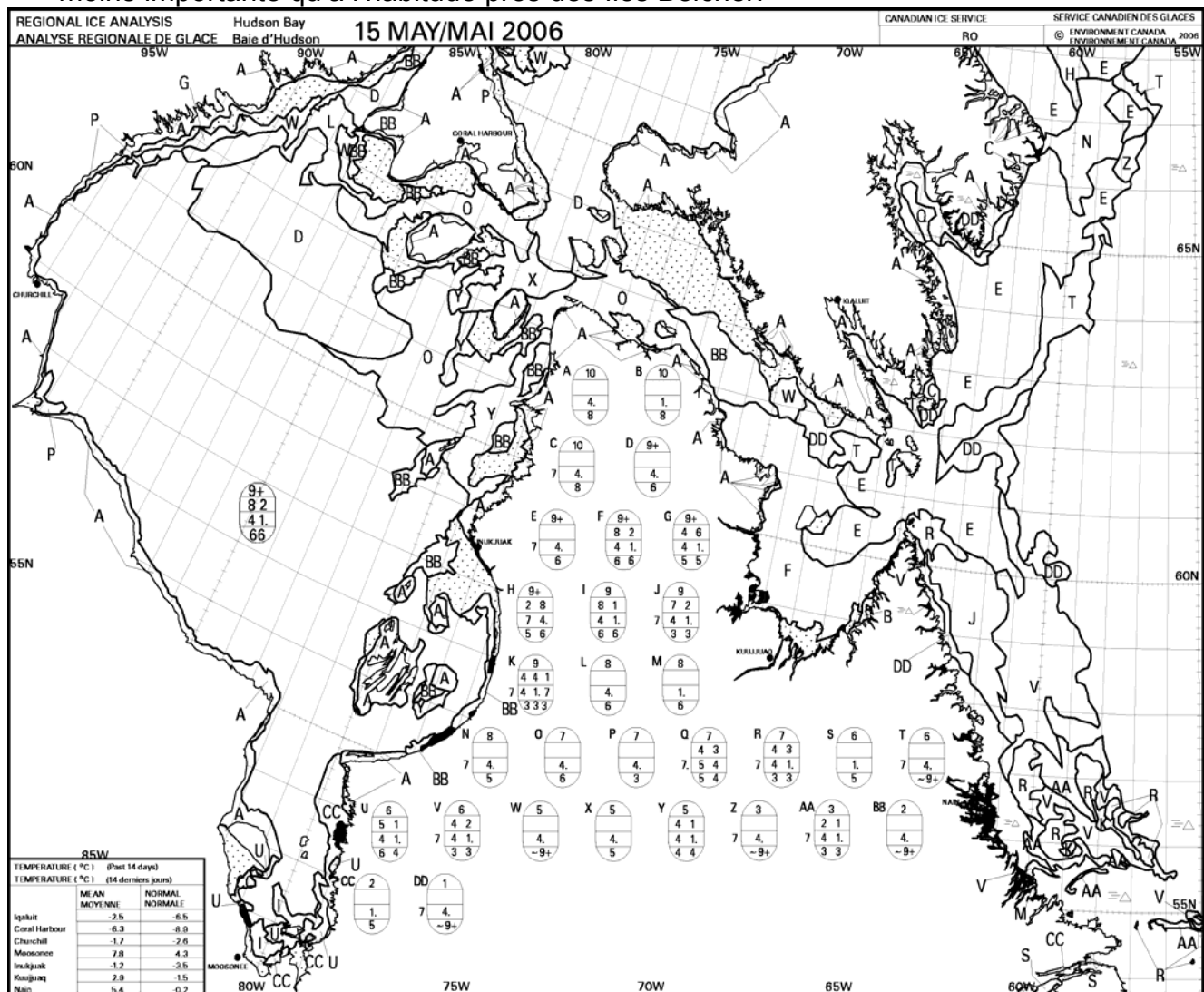


Figure 3: Carte régionale des glaces du 15 mai 2006 pour la baie d'Hudson et ses abords

## **Aperçu pour la baie d'Hudson et ses abords**

Durant les deux premières semaines de juin, une série de dépressions s'amèneront depuis le nord de la baie d'Hudson sur le sud du détroit de Davis. Ces dépressions seront précédées d'épisodes de vents modérés à forts du sud et les vents seront modérés de l'ouest dans le sillage de ces dépressions. La température moyenne de l'air sera donc en général supérieure à la normale au cours de la première moitié de juin. Quant au reste de l'été, les températures devraient demeurer au-dessus de la normale dans la majorité des endroits. La débâcle s'est déjà amorcé, et ce, bien avant le temps normal, sur le nord de la baie d'Hudson, l'ouest du détroit d'Hudson et le long de la côte du Labrador. La débâcle surviendra beaucoup plus tôt qu'à l'accoutumée dans la majorité des régions. Le dégagement le long de la côte du Labrador jusqu'au cap Chidley se produira au cours de la deuxième semaine de juillet, soit deux semaines plus tôt qu'en temps normal.

Pendant ce temps, une route en banquise lâche ou moins se formera sur le sud du détroit de Davis jusque dans la baie Frobisher, soit une semaine plus tôt qu'à l'habitude. Vers la mi-juillet, une route en eau libre jusqu'à Churchill se formera sur le nord de la baie d'Hudson et la glace va fondre complètement sur la baie James. Ces deux événements surviendront 7 à 10 jours plus tôt qu'à l'habitude. Le pack de glace se retirera au nord de la baie Frobisher à la fin de la troisième semaine de juillet et la baie Frobisher sera libre de glace au même moment. D'autre part, la glace va fondre complètement sur la baie d'Ungava. Le dégagement des baies Frobisher et d'Ungava va donc se produire 14 à 17 jours plus tôt qu'à l'habitude. Le dégagement surviendra sur le détroit d'Hudson à la fin juillet et sur la baie d'Hudson au cours de la première semaine d'août. Dans les deux cas, le phénomène se produira 7 à 10 jours plus tôt qu'à l'accoutumée.

**Tableau 1: Prévisions du déglacement pour la baie d'Hudson et ses abords**

	<b>2005</b>	<b>Médiane</b>	<b>Aperçu pour 2006</b>
<b>Côte du Labrador jusqu'au cap Chidley</b> - Déglacement	10 Juil	29 Juil	11-13 Juil
<b>Baie de Frobisher</b> - Banquise lâche ou moins - Déglacement	11 Juil 18 Juil	20 Juil 09 Août	11-13 Juil 21-23 Juil
<b>Baie d'Ungava</b> - Déglacement	26 Juil	04 Août	21-23 Juil
<b>Détroit d'Hudson</b> - Déglacement	05 Août	08 Août	29-31 Juil
<b>Voie d'eau libre jusqu'à Churchill</b>	16 Juil	21 Juil	15-17 Juil
<b>Baie d'Hudson</b> - Déglacement	03 Août	17 Août	03-05 Août
<b>Baie James</b> - Déglacement	05 Juil	30 Juil	16-18 Juil

## L'est de l'Arctique

### Englacement et régime de glaces hivernal

On a enregistré des températures supérieures à la normale dans tous les secteurs durant les mois d'octobre et de novembre. L'englacement a débuté avec environ une semaine de retard sur la normale. En décembre, les températures sont tombées près de la normale dans le centre de l'Arctique, mais sont demeurées au-dessus de la normale ailleurs. En janvier, les températures se sont situées près de la normale dans la baie de Baffin et le bassin Foxe, et au-dessus de la normale ailleurs dans l'est de l'Arctique. À la fin de janvier, on signalait des conditions glacielles proches de la normale dans toute la région. L'épaisseur calculée et l'épaisseur mesurée des glaces étaient légèrement inférieures à la normale.

À la fin de l'été 2005, la répartition de la vieille glace était proche de la normale. Vers la mi-septembre, de la nouvelle glace a commencé à se former dans le détroit d'Eureka, la baie Norvégienne, le détroit de Barrow, puis une semaine plus tard dans le détroit de Wellington et l'inlet Prince-Régent. Au début d'octobre, cette glace avait épaissi pour devenir généralement grise.

À la fin d'octobre, cette glace grise avait épaissi pour devenir principalement de la glace mince de première année, avec de la glace grise dans le nord-ouest de la baie de Baffin et de la glace nouvelle dans le nord du bassin Foxe. L'englacement était en cours.

À la mi-novembre, le détroit d'Eureka, la baie Norvégienne et le nord-est du détroit de Wellington étaient recouverts de glace consolidée. À la fin de novembre, l'inlet de l'Amirauté, la baie Pelly, le sud de la baie Committee et certaines parties du bassin Foxe étaient recouverts de glace consolidée. La glace dans la baie de Baffin s'étendait alors vers le sud le long de la côte est de l'île de Baffin jusqu'à l'entrée du détroit de Cumberland et jusqu'à 74N le long de la côte ouest du Groenland. L'englacement dans la baie de Baffin accusait un retard d'environ dix jours par rapport à la normale. Le centre de la baie de Baffin était recouvert de bancs de deux dixièmes de vieille glace. Le bassin Foxe était recouvert de glace blanchâtre à mince de première année.

À la fin de décembre, le détroit de Barrow, à l'ouest de la baie Resolute, était recouvert de glace consolidée. Le chenal d'eau bergée le long de la côte ouest du Groenland s'étendait au nord de l'île Disco jusqu'à 73N.

Au début de février, l'étendue des glaces était proche de la normale. Le détroit de Barrow était recouvert de glace consolidée, alors que le détroit de Lancaster et l'inlet Prince-Régent demeuraient mobiles. Le secteur entre le détroit de Robeson et le bassin Kane était demeuré mobile, permettant ainsi à la vieille glace de continuer de se propager du nord vers la baie de Baffin. Il y avait une vaste zone recouverte jusqu'à deux dixièmes de vieille glace dans le pack principal dans la baie de Baffin. L'eau bergée le long de la côte du Groenland se trouvait au sud de l'île Disco. L'étendue des glaces était à peu près normale, mais l'épaisseur calculée des glaces demeurait inférieure à la normale.

Les températures se sont situées au-dessus ou très au-dessus de la normale sur tout l'est de l'Arctique en mars. En avril, elles se sont maintenues au-dessus de la normale, mais sont descendues près de la normale dans le bassin Foxe et la baie de Baffin. On a signalé peu de changement dans les conditions glacielles dans la plupart des secteurs au cours de la période. Par contre, le pont de glace s'est formé sur le bassin Kane au début de mars et s'y est maintenu en avril. Une grande quantité de vieille glace s'est collée au pont de glace sur le côté sud du bassin Kane. Des chenaux de glace mince se sont formés le long du littoral ouest du bassin Foxe et au sud du pont de glace dans le bassin Kane au cours du mois d'avril. L'étendue des glaces dans le détroit de Davis et le sud de la baie de Baffin se situait plus à l'ouest qu'en temps normal, alors que le chenal d'eau bergée s'est maintenu au sud de l'île Disco.

Dans la première moitié de mai, les vents sont demeurés légers et variables sur l'est de l'Arctique, sauf dans le bassin Foxe où ils étaient légers du nord. Par conséquent, les températures moyennes de l'air se sont situées de 2 à 4C au-dessus de la normale partout. À la mi-mai, on a signalé très peu de changement dans tout le secteur. Par contre, les glaces étaient nettement plus lâches qu'en temps normal dans le détroit de Cumberland et près de Cape Dyer. Des zones de glace très lâche ou d'eau bergée se sont grandement étirées au sud du bassin Kane et vers le sud jusque dans l'entrée est du détroit de Lancaster. Les glaces étaient aussi très lâches dans le détroit de Lancaster et le nord-ouest du bassin Foxe. On signalait un chenal d'eau bergée au sud de 70N, ce qui est à peu près normal pour cette période de l'année.

### Conditions glacielles observées

La carte régionale apparaissant à la figure 4 est fondée sur l'analyse des images de Radarsat et de la NOAA/MODIS relevées aux environs du 15 mai 2006. Cette carte fait ressortir certaines des caractéristiques suivantes:

- a) le chenal d'eau bergée longeant la côte ouest du Groenland se trouvait en position à peu près normale;
- b) la lisière de banquise côtière dans l'est du détroit de Barrow se trouvait près de l'île Prince Leopold, ce qui est normal;
- c) les glaces étaient nettement plus lâches qu'en temps normal au sud du pont de glace entre le bassin Kane et le nord de l'île Bylot, dans le détroit de Lancaster, dans le nord-ouest du bassin Foxe et dans le détroit de Cumberland;
- d) les concentrations de vieille glace étaient moindres qu'en temps normal près de la baie Pelly et dans la baie Norvégienne;
- e) l'étendue est de la glace de mer se trouvait plus à l'ouest qu'en temps normal dans le nord du détroit de Davis et dans le sud de la baie de Baffin;
- f) les concentrations de vieille glace étaient à peu près normales dans l'ouest de la baie de Baffin et dans le nord du détroit de Davis.

# Services Nord-Américain des Glaces

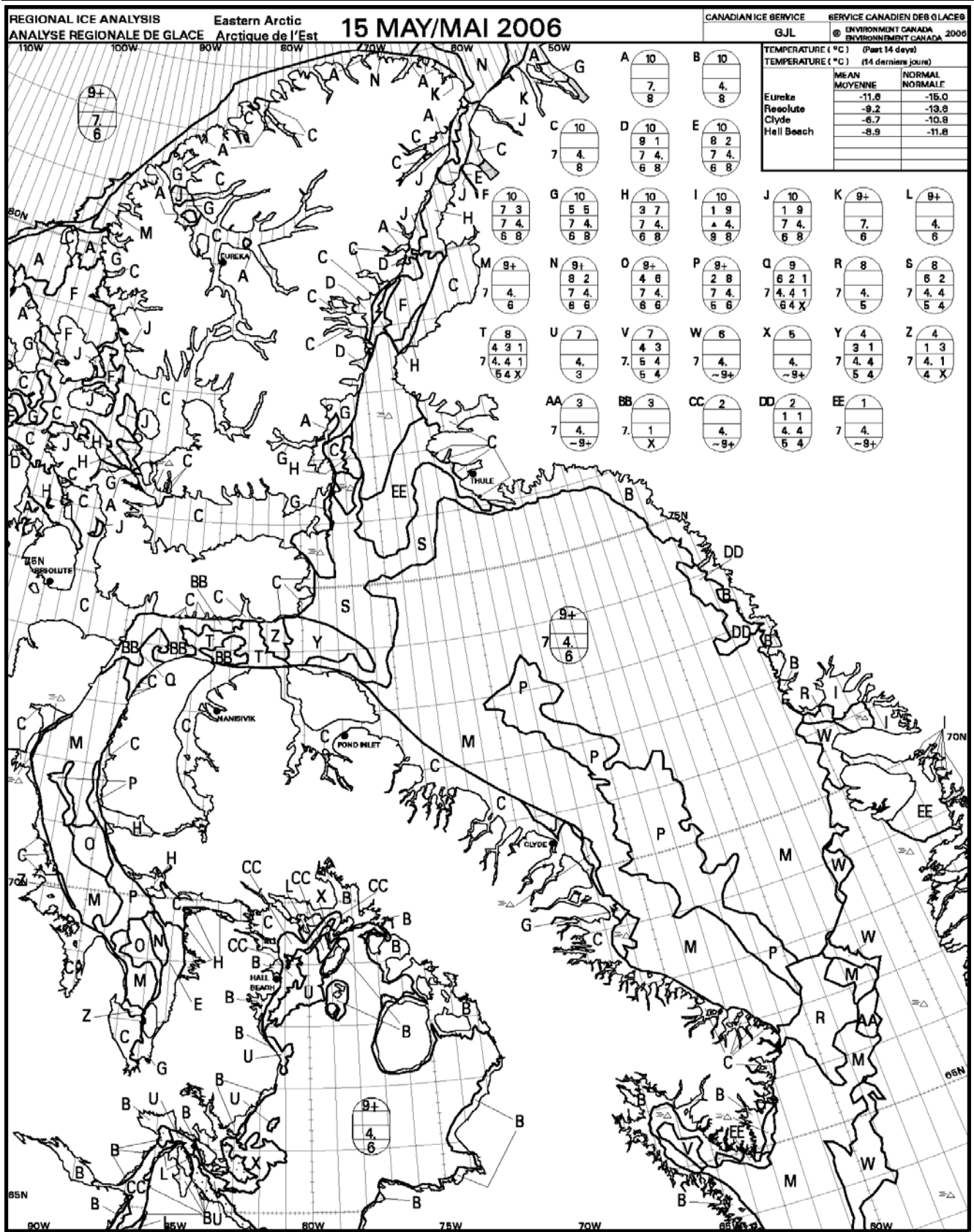


Figure 4: Carte régionale des glaces du 15 mai 2006 pour l'est de l'Arctique

Aperçu Saisonnier- Eaux Arctiques d'Amérique du Nord – Été 2006

## Aperçu pour l'est de l'Arctique

### Secteur de Baffin/Davis et Bassin Foxe

Au cours des deux premières semaines de juin, une série de dépressions s'amèneront depuis le sud du bassin Foxe pour gagner le sud du détroit de Davis. Ces dépressions vont générer des épisodes de vents modérés à forts du nord-est sur le bassin Foxe mais des vents légers à modérés du sud-est sur le nord du détroit de Davis et la baie de Baffin. A mesure que les dépressions progresseront vers le sud du Groenland des vents légers à modérés du nord-ouest se lèveront sur le détroit de Davis et la baie de Baffin. La température moyenne de l'air sera donc supérieure à la normale dans la majeure partie des endroits. Si l'on suppose des températures supérieures à la normale pour le reste de la saison estivale, la débâcle se produira presque en temps normal mais surviendra plus tôt qu'à l'habitude sur le nord de la baie de Baffin et sur le bassin Foxe.

Le pack de glace sur le nord de la baie de Baffin affiche des signes de relâchement juste au sud de la baie Melville. Cette situation contribuera à la formation d'une route en banquise lâche ou moins sur le nord de la baie de Baffin à la fin de la première semaine de juillet. Une semaine plus tard, il y aura formation d'une route en eau bergée sur le nord de la baie de Baffin jusqu'à Thule. Ces événements surviendront 10 à 14 jours plus tôt qu'à l'habitude. Une route en banquise lâche ou moins jusqu'au cap Dyer se formera au cours de la quatrième semaine de juillet, ce qui est presque normal. Puisque la glace fond à un rythme normal, une route en banquise lâche ou moins jusqu'à Home Bay se formera normalement à la fin de la première semaine d'août. Une route en eau libre jusqu'à Hall Beach se formera vers la mi-août alors que la glace va fondre complètement sur le détroit de Davis à la fin août. En raison de la présence normale de vieille glace dans la baie de Baffin, le dégagement de cette baie se produira lors de la fin de la première semaine de septembre. Juste avant la mi-septembre, la glace va fondre sur le bassin Foxe, soit 7 à 10 jours plus tôt qu'à l'habitude.

### Chenal Parry

Lors des deux premières semaines de juin, une série de dépressions traversera l'extrême arctique provoquant des épisodes de vents légers à modérés de l'ouest sur le centre de l'Arctique. Il y aura donc des températures près de la normale à supérieures à la normale dans la majorité des secteurs. Si on suppose des températures près de la normale à supérieures à la normale pour le reste de l'été, la débâcle se produira presque en temps normal mais surviendra plus tôt qu'à l'habitude sur l'est du détroit de Barrow. Puisque la glace n'a jamais gelé sur le détroit de Lancaster, de vastes zones de glace très lâche se sont formées et ont rapidement progressé vers l'entrée est pendant les deux dernières semaines de mai. La glace consolidée sur l'est du détroit de Barrow se fragmentera au cours de la première semaine de juillet, soit une semaine plus tôt qu'à l'habitude. Lors de la troisième semaine de juillet, la glace va commencer à se fragmenter dans le nord de l'inlet de l'Amirauté.

Une semaine plus tard, il y aura fragmentation des glaces dans l'inlet Pond, le détroit de Wellington et du côté ouest du détroit de Barrow. La glace va continuer à se fragmenter sur le détroit de McDougall au cours de la deuxième semaine d'août, alors que l'eau généralement bergée fera son apparition dans le nord de l'inlet de l'Amirauté. Une semaine plus tard, le dégagement se produira dans l'inlet Pond.

## **Extrême Arctique**

Au cours des deux premières semaines de juin, une série de dépressions traversera le secteur provoquant des épisodes de vents légers à modérés de l'ouest sur l'extrême Arctique. Il en résultera des températures près de la normale à supérieures à la normale sur la majorité des secteurs. Si les températures sont près de la normale à supérieures à la normale pendant le reste de l'été, la débâcle se produira presque normalement mais elle surviendra beaucoup plus tôt qu'à l'habitude sur le bassin Kane. En raison de la formation tardive d'un pont de glace et de concentrations de vieille glace supérieures à la normale, la glace consolidée sur le bassin Kane se fragmentera du côté ouest juste avant la mi-juillet, soit 10 jours plus tôt qu'à l'habitude. Pendant la dernière semaine de juillet, il y aura fragmentation des glaces dans le détroit de Jones, Vers la fin juillet, la glace commencera à se fragmenter sur la partie sud de la baie Norwegian et dans le détroit d'Eureka. Le nord de la baie Norwegian devrait se fragmenter au cours de la deuxième semaine d'août. Vers la mi-août, on devrait retrouver de l'eau généralement bergée dans le détroit d'Eureka.

**Tableau 2: Prévisions du déglacement pour l'est de l'Arctique**

	<b>2005</b>	<b>Médiane</b>	<b>Aperçu pour 2006</b>
<b>Route dans le nord de la Baie de Baffin</b> - Banquise lâche ou moins - route d'eau bergée	14 Juil 23 Juil	19 Juil 29 Juil	08-10 Juil 15-17 Juil
<b>Baie de Baffin</b> - Déglacement	30 Août	10 Sept	08-10 Sept
<b>Détroit de Davis</b> - Déglacement	20 Août	02 Sept	31 Août-02 Sept
<b>Baie Home</b> - Banquise lâche ou moins	03 Août	09 Août	04-06 Août
<b>Cape Dyer</b> - Banquise lâche ou moins	17 Juil	28 Juil	23-25 Juil
<b>Voie d'eau libre jusqu'à Hall Beach</b>	21 Août	05 Sept	15-17 Août
<b>Bassin Foxe</b> - Déglacement	29 Sept	21 Sept	12-14 Sept
<b>Détroit de Pond</b> - Fracturation <sup>1</sup> - Déglacement	23 Juil 12 Août	25 Juil 12 Août	26-28 Juil 14-16 Août
<b>Portion nord de l'Inlet de l'Amirauté</b> - Fracturation <sup>1</sup> - Eau libre	21 Juil 03 Août	21 Juil 11 Août	19-21 Juil 09-11 Août
<b>Détroit de Lancaster</b> - Fracturation <sup>1</sup>	Pas consolidé	08 Juil	Pas consolidé
<b>Détroit de Barrow à Résolute</b> - Fracturation/est <sup>1</sup> - Fracturation/ouest <sup>1</sup>	05 Juil 25 Juil	11 Juil 25 Juil	04-06 Juil 26-28 Juil
<b>Chenal de Wellington</b> - Fracturation <sup>1</sup>	22 Juil	28 Juil	26-28 Juil
<b>Chenal de McDougall</b> - Fracturation <sup>1</sup>	29 Juil	05 Août	08-10 Août
<b>Bassin de Kane</b> - Fracturation <sup>1</sup>	25 Juil	24 Juil	12-14 Juil
<b>Détroit de Jones</b> - Fracturation <sup>1</sup>	22 Juil	01 Août	27-29 Juil
<b>Baie Norvégienne</b> - Fracturation/sud <sup>1</sup> - Fracturation/nord <sup>1</sup>	28 Juil 29 Juil	01 Août 09 Août	28-30 Juil 09-11 août
<b>Détroit d'Eureka</b> - Fracturation <sup>1</sup> - Eau libre	29 Juil Pas dégagé	03 Août 18 Août	30 Juil-01 Août 15-17 Août
<b>La route Pacer Goose jusqu'à Thule</b> -Banquise lâche ou moins -route d'eau bergée	14 Juil 23 Juil	19 Juil 29 Juil	08-10 Juil 15-17 Juil

<sup>1</sup> Remarque: Fracturation signifie fracture complète de la glace.

## L'ouest de l'Arctique

### Englacement et régime de glaces hivernal

Les températures étaient supérieures à la normale en octobre, près ou au-dessus de la normale en novembre et au-dessus de la normale en décembre. Des vents du nord-ouest ont fait chuter les températures sur la mer de Beaufort en janvier. Elles se situaient alors légèrement au-dessous de la normale sur la mer de Beaufort et au-dessus de la normale dans le golfe d'Amundsen et vers l'est. À la fin de janvier, l'étendue des glaces était proche de la normale. La lisière de la vieille glace se trouvait à une position à peu près normale au large de la péninsule Tuktoyaktuk et de l'île Banks, mais un peu plus près de la normale sur la mer de Beaufort, avec une intrusion de vieille glace le long de la côte de l'Alaska juste à l'ouest de pointe Barrow. L'épaisseur mesurée de la glace était inférieure à la normale à Inuvik et à peu près normale à Cambridge Bay.

Au début de l'englacement, l'étendue de la vieille glace était légèrement supérieure à la normale dans le détroit de Larsen. Une partie de cette vieille glace est passée du détroit de Larsen au détroit de Victoria puis dans le nord-ouest du golfe Reine-Maud. Ailleurs, les eaux étaient libres du bassin St-Roch au détroit de Dease jusque dans le golfe d'Amundsen et le long de la côte de l'Alaska. Le principal pack de vieille glace était en position à peu près normale le long de la côte de l'Alaska. De la glace nouvelle a commencé à se former à la mi-septembre dans les détroits de Larsen et de Peel, ce qui était proche de la normale.

À la mi-octobre, la croissance et l'expansion des glaces se faisaient rapidement, avec de la glace nouvelle et de la glace grise le long de la côte de l'Alaska jusqu'à Point Barrow, dans la baie du Mackenzie vers l'est jusqu'au golfe Reine-Maud et le bassin St-Roch. La glace dans le détroit de Peel avait épaissi et devenue blanchâtre et mince de première année avec plus de vieille glace qu'à la normale dans le détroit de Larsen et dans le centre du golfe Reine-Maud. Une semaine plus tard, certaines parties de la péninsule Tuktoyaktuk et du golfe Reine-Maud étaient recouvertes de glace consolidée. La glace avait épaissi dans les routes maritimes pour devenir grise et blanchâtre. À la fin d'octobre, de la glace surtout grise recouvrait l'ensemble de la mer de Beaufort au sud du principal pack de vieille glace qui se trouvait loin au large.

À la mi-novembre, le détroit de Peel était recouvert de glace consolidée. Une semaine plus tard, le secteur compris entre le bassin St-Roch, le golfe Reine-Maud et le golfe du Couronnement était recouvert de glace consolidée. À la fin de novembre, les eaux intérieures de l'ouest de l'Arctique entre le détroit du Vicomte Melville, le détroit de Larsen et le golfe du Couronnement étaient recouvertes de glace consolidée. La glace avait épaissi pour devenir mince de première année dans le golfe d'Amundsen et la mer de Beaufort, et la lisière de vieille glace se trouvait environ 50 milles au large de l'île Banks, 70 milles au nord de la péninsule Tuktoyaktuk et 30 milles au large de Point Barrow.

---

## Services Nord-Américain des Glaces

---

À la fin décembre, le golfe d'Amundsen et la côte de l'Alaska jusqu'à la lisière de vieille glace étaient recouverts de glace mince et moyenne de première année, avec une trace de vieille glace. Les routes maritimes étaient entièrement recouvertes de glace consolidée moyenne de première année, sauf dans le centre du golfe Reine-Maud où on signalait sept dixièmes de vieille glace imbriqués.

Durant le mois de janvier, la lisière de la banquise côtière le long de la côte de l'Alaska et dans le golfe d'Amundsen avait épaissi pour devenir de la glace épaisse de première année avec une trace de vieille glace. Les vents soufflaient généralement du nord-ouest sur la mer de Beaufort durant cette période ce qui poussait le pack principal légèrement vers l'est et vers le sud sur la mer de Beaufort, mais près de la côte aux environs de Point Barrow. À la fin janvier, la lisière de vieille glace se trouvait à 50 milles à l'ouest de l'île Banks, 100 milles au nord de la péninsule Tuktoyaktuk, mais le long de la côte près de Point Barrow vers le sud-ouest. Il est inhabituel de signaler une concentration de cinq dixièmes de vieille glace juste à l'ouest de Point Barrow.

Les températures se sont situées au-dessus de la normale dans la plupart des secteurs en mars, mais au-dessous de la normale dans la mer de Beaufort et le long de la côte de l'Alaska. Les températures ont connu une légère baisse en avril, se situant près ou légèrement au-dessus de la normale un peu partout. Par contre, elles se sont maintenues au-dessous de la normale dans la mer de Beaufort et le long de la côte de l'Alaska.

En mars et en avril, on a signalé peu de changement dans la répartition des glaces dans l'ouest de l'Arctique, sauf pour une légère hausse dans la quantité de vieille glace près de Point Barrow. Les glaces étaient encore mobiles dans le golfe d'Amundsen au cours de la période, mais elles se sont consolidées pour une courte période dans la première moitié d'avril. On signalait surtout de la glace épaisse de première année avec une trace de vieille glace juste au large de la banquise côtière le long de la péninsule de Tuktoyaktuk et au large de la côte de l'Alaska à l'est de la baie Prudhoe. À la fin d'avril, la lisière de vieille glace se situait à 60 milles à l'ouest de l'île Banks, 110 milles au nord de la péninsule de Tuktoyaktuk et près de Point Barrow.

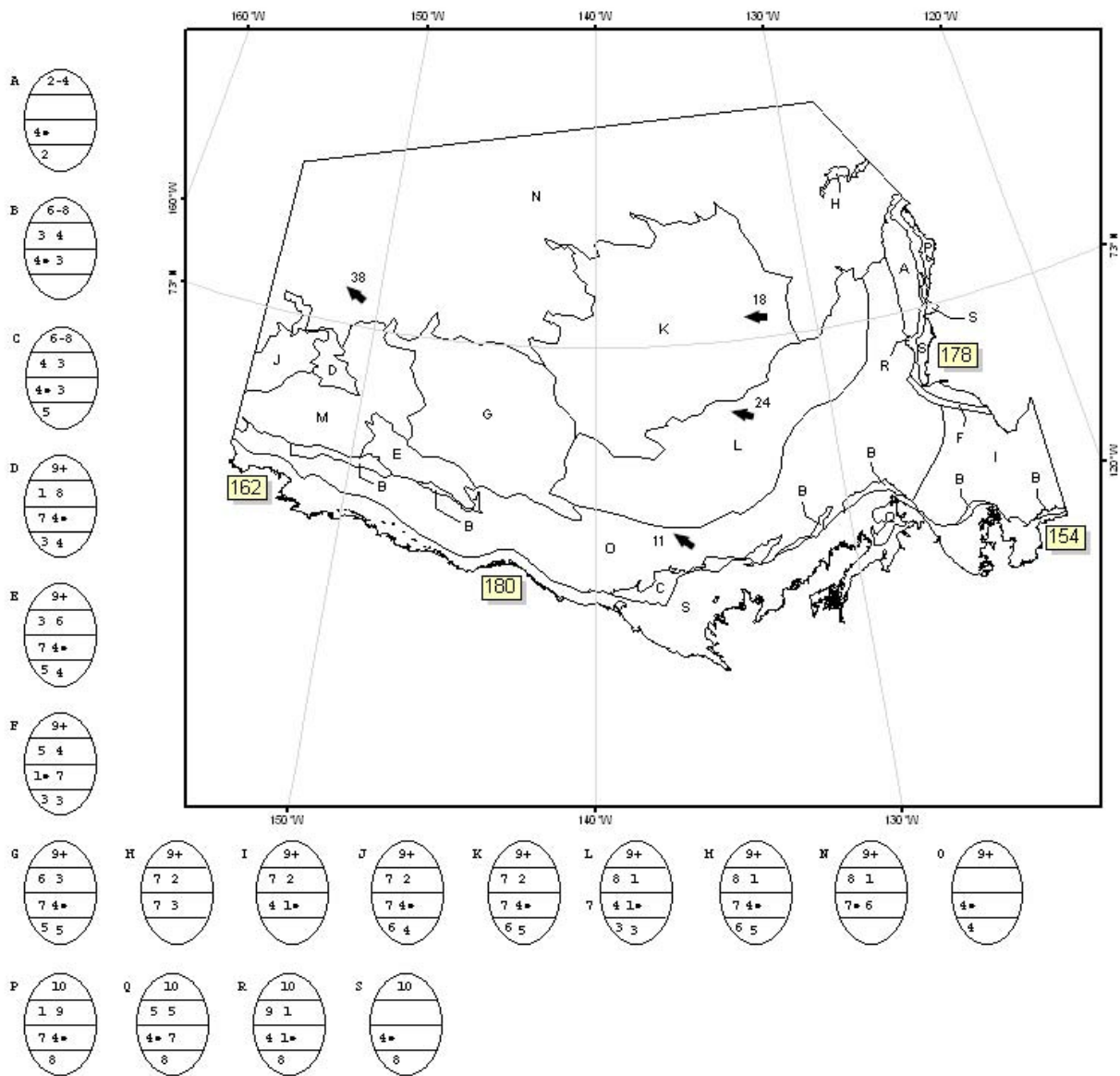
Dans la première moitié de mai, un faible système dépressionnaire sur les îles Aléoutiennes a entraîné des vents légers à modérés d'est à nord-est sur la mer de Beaufort. Les vents étaient légers et variables ailleurs sur l'ouest de l'Arctique. La première moitié de mai a été en général plus doux que la normale sauf proche de la normale sur la mer de Beaufort. Par conséquent, on a signalé peu de changement dans les conditions glacielles au cours des deux premières semaines de mai. Par contre, des zones de glace très lâche ont commencé à se former dans l'extrémité est du golfe Amundsen et le long de la péninsule de Tuktoyaktuk. Le pack de vieille glace se trouvait toujours beaucoup plus au sud qu'en temps normal à l'ouest de l'île Herschel et près de Point Barrow. Les concentrations de vieille glace étaient toujours plus importantes qu'en temps normal à l'ouest de Point Barrow jusqu'au nord du détroit de Béring.

### **Conditions glacielles observées**

Les cartes régionales apparaissant aux figures 5, 6 et 7 est fondée sur l'analyse des images de Radarsat et de la NOAA/MODIS relevées aux environs du 26 mai 2006. Ces cartes font ressortir certaines des caractéristiques suivantes:

- a) plus de vieille glace qu'en temps normal dans le détroit de Victoria vers le sud jusque dans l'ouest du golfe Reine-Maud;
- b) pack de vieille glace le long de la côte de l'Alaska plus près de la rive qu'en temps normal à l'ouest de l'île Herschel;
- c) pack de vieille glace plus loin de la rive qu'en temps normal à l'est de l'île Herschel;
- d) forte concentration de vieille glace entre Point Barrow et Point Hope;
- e) quantités faibles mais inhabituelles de vieille glace dans le détroit de Béring.

Services Nord-Américain des Glaces



**ICE ANALYSIS  
BEAUFORT SEA  
NATIONAL/NAVAL ICE CENTER**

Analysis Week 22 - 26 May 2006

Data Sources      Date

RADARSAT.....19 - 20 May

OLS.....20 - 21 May

ENVISAT.....20 - 22 May

QUIKSCAT.....21 May

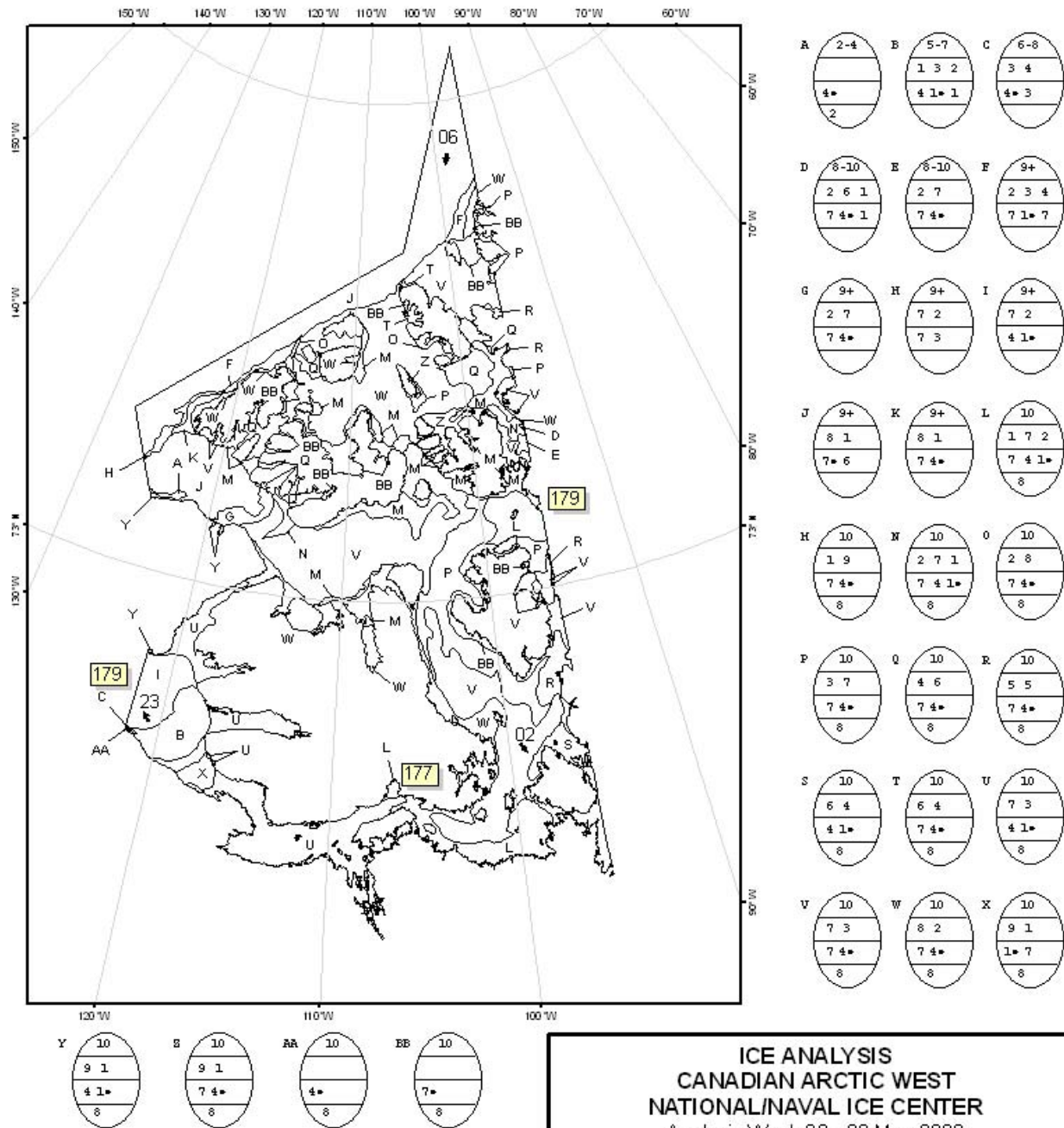
Analysts: Kennedy, William AG2  
Szorc, Chris

**UNCLASSIFIED**

Figure 5: Carte régionale des glaces du 22 mai 2006 pour la mer de Beaufort

Aperçu Saisonnier- Eaux Arctiques d'Amérique du Nord – Été 2006

# Services Nord-Américain des Glaces



**CM** = THEORETICAL ICE THICKNESS IN CENTIMETERS  
**NM** = 168HR ANAL DRIFT VECTORS IN NAUTICAL MILES

**ICE ANALYSIS**  
**CANADIAN ARCTIC WEST**  
**NATIONAL/NAVAL ICE CENTER**  
 Analysis Week 22 - 26 May 2006  
 Data Sources Date  
 OLS.....21 - 22 May  
 ENVISAT.....21 - 23 May  
 QUIKSCAT.....21 May  
 Analysts: Pollock, James AG1  
**UNCLASSIFIED**

Figure 6: Carte régionale des glaces du 22 mai 2006 pour l'Archipel canadien

Aperçu Saisonnier- Eaux Arctiques d'Amérique du Nord – Été 2006

Services Nord-Américain des Glaces

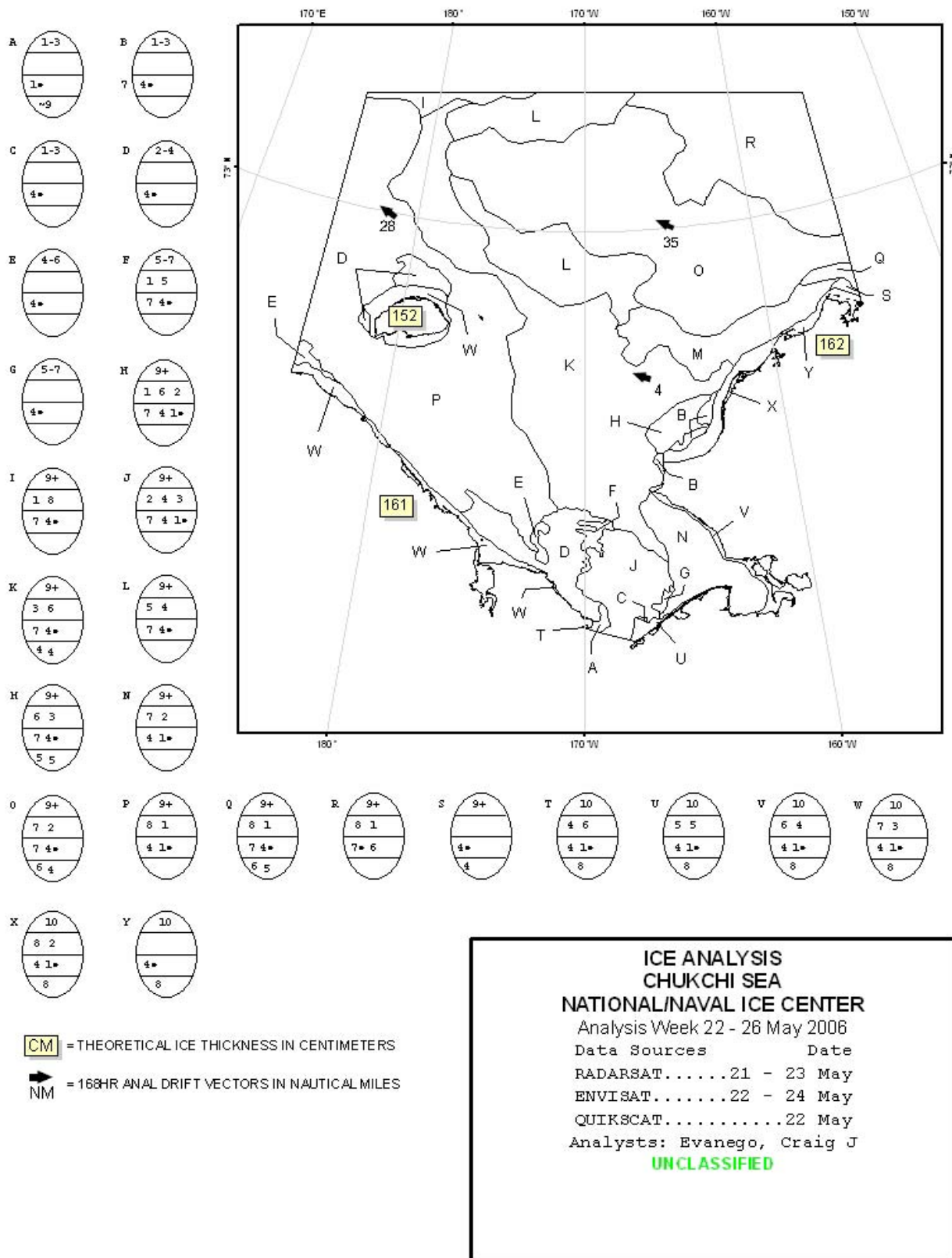


Figure 7: Carte régionale des glaces du 22 mai 2006 pour la mer de Chukchi

Aperçu Saisonnier- Eaux Arctiques d'Amérique du Nord – Été 2006

## Aperçu pour l'ouest de l'Arctique

Compte tenu des températures près de la normale que l'on a connu cet hiver, la fragmentation des glaces et le dégagement du secteur de l'ouest de l'Arctique devraient se produire à une date presque normale, à l'est de la baie Prudhoe.

Le dégagement devrait survenir à sa date normale sur la mer de Beaufort, à l'est de Barter Island. Le delta du Mackenzie se dégagera au cours de la troisième semaine de juin et la baie Kugmallit, une semaine plus tard. La banquise côtière longeant la péninsule de Tuktoyaktuk va commencer à se fragmenter au cours de la première semaine de juillet. La route en eau libre reliant la baie Mackenzie à Cape Bathurst se formera au cours de la dernière semaine de juillet. Le golfe du Couronnement va se fragmenter vers la mi-juillet et se dégager à la fin juillet, ce qui est presque normal. Le golfe Reine-Maud et le détroit de Peel vont se fragmenter au cours de la dernière semaine de juillet alors que le détroit de Larsen se fragmentera au début août. En raison de la forte quantité de vieille glace dans le golfe Reine-Maud, la formation d'une route en eau libre jusqu'à Taloyoak sera retardée d'environ une semaine par rapport à la normale.

A l'ouest de la baie Prudhoe, la quantité accrue de vieille glace longeant la côte de l'Alaska de Point Barrow jusqu'à Cape Lisburne va retarder le dégagement de la voie navigable de deux semaines et une forte quantité de vieille glace persistera juste au large de la côte de Point Barrow. La voie navigable côtière entre la baie Mackenzie et la baie Prudhoe s'ouvrira au cours de la troisième d'août et la partie ouest sera la dernière à se dégager.

Tableau 3: Prévisions du déglacement pour l'ouest de l'Arctique

	2005	Médiane	Aperçu pour 2006
<b>Delta du Mackenzie</b> - Déglacement	20 Juin	18 Juin	18-20 Juin
<b>Baie de Kugmallit</b> - Déglacement	20 Juin	27 Juin	27-29 Juin
<b>Péninsule de Tuktoyaktuk</b> - Fracturation <sup>2</sup>	07 Juil	03 Juil	01-03 Juil
<b>De la baie Mackenzie au cap Bathurst</b> - Eau libre	02 Août	27 Juil	26-28 Juil
<b>Voie de navigation côtière de la baie Mackenzie à Prudhoe Bay</b> - Banquise lâche ou moins	08 Sept	14 Août	17-19 Août
<b>Voie de navigation côtière de Prudhoe Bay à Point Barrow</b> -Banquise lâche ou moins -Pack serré (englacement)	25 Juil 03 Oct	12 Août 06 Oct	27-29 Août 30 Sept-02 Oct
<b>Cape Lisburne à Point Barrow</b> -Banquise lâche ou moins -Eau libre	15 Juil 25 Juil	03 Août 18 Août	14-16 Août 25-27 Août
<b>Wainwright</b> -Banquise lâche ou moins	01 Juil	29 Juin	09-11 Juil
<b>Voie de navigation côtière de Prudhoe Bay à l'île Barter</b> -Banquise lâche ou moins	01 Août	01 Août	01-03 Août
<b>Route de Taloyoak</b> - Eau libre	30 Août	18 Août	23-25 Août
<b>Golfe d'Amundsen</b> - Fracturation <sup>1</sup> - Déglacement	07 Juil Pas dégagé	07 Juil 15 Août	Fracturé 17-19 Août
<b>Golfe de Couronnement</b> - Fracturation <sup>1</sup> - Déglacement	17 Juil 02 Sept	15 Juil 01 Août	11-13 Juil 29-31 Juil
<b>Golfe Reine-Maud</b> - Fracturation <sup>1</sup>	30 Juil	23 Juil	24-26 Juil
<b>Détroit de Larsen</b> - Fracturation <sup>1</sup>	10 Août	01 Août	30 Juil-01 Août
<b>Détroit de Peel</b> - Fracturation <sup>1</sup>	09 Août	01 Août	28-30 Juil

<sup>2</sup> Remarque: Fracturation signifie fracture complète de la glace.

**Tableau 4: Données spécifiques sur la glace de mer et indice de difficulté applicables pour la côte nord de l'Alaska de 1953 à 2005**

Rang	Année	1 10 Août	2 15 Sept	3 10 Août	4 15 Sept	5 Date	6 Date	7 #jours	8 #jours	Index obs	Index prév
1	2004	13	238	70	260	16-Juil	8-Oct	71	68	637	602
2	1958	50	150	50	210	19-Juil	25-Oct	92	99	624	446
3	1968	25	165	30	200	19-Juil	18-Oct	86	91	615	495
4	1998	15	105	20	240	15-Juil	21-Oct	72	100	584	486
5	2005	70	130	85	250	23-Juil	3-Oct	63	70	580	381
6	2003	18	167	27	185	21-Juil	20-Oct	52	92	568	481
7	1993	0	130	5	185	18-Juil	7-Nov	64	112	565	388
8	2002	0	135	18	225	13-Août	14-Oct	32	64	504	293
9	1962	25	150	30	150	19-Juil	30-Sept	49	68	490	406
10	1973	5	80	5	190	31-Juil	20-Oct	73	82	486	344
11	1954	20	115	20	210	1-Août	30-Sept	38	61	484	552
12	1997	28	150	40	150	8-Août	10-Oct	47	63	463	297
13	1963	5	130	5	130	13-Août	18-Oct	67	67	442	351
14	1990	0	90	40	90	23-Juil	12-Oct	75	105	429	173
15	1961	15	105	15	135	25-Juil	24-Sept	49	62	418	414
16	1996	10	65	70	155	16-Juil	25-Sept	37	71	405	446
17	1979	0	125	0	125	4-Août	8-Oct	31	56	394	178
18	1989	10	70	55	110	19-Juil	22-Oct	34	95	383	284
19	1974	10	100	10	100	6-Août	5-Oct	35	61	351	372
20	1978	5	70	30	95	25-Juil	9-Oct	35	76	343	492
21	1986	10	80	10	110	29-Juil	21-Oct	30	58	342	517
22	1999	15	45	45	105	30-Juil	8-Oct	56	70	338	98
23	1977	5	55	25	85	2-Août	15-Oct	63	74	336	381
24	1959	20	65	20	65	19-Juil	6-Oct	42	86	331	271
25	1995	30	30	50	50	15-Juil	17-Oct	70	94	329	477
26	1972	0	60	30	90	31-Juil	1-Oct	45	63	320	251
27	1982	0	85	0	95	3-Août	10-Oct	21	69	318	271
28	1994	10	35	10	60	5-Août	24-Sept	44	55	251	334
29	1957	5	45	70	60	1-Août	6-Oct	18	67	250	300
30	1987	0	10	0	85	5-Août	30-Oct	35	59	250	299
31	1981	0	0	35	100	26-Juil	1-Oct	0	66	232	521
32	2000	10	70	10	75	31-Juil	2-Oct	19	33	228	274
33	1985	0	35	0	55	1-Août	15-Oct	22	52	224	245
34	1967	15	0	30	50	25-Juil	12-Oct	25	68	213	212
35	1984	0	25	0	50	11-Août	15-Oct	21	42	209	219
36	1966	5	0	5	45	1-Août	22-Oct	24	65	194	296
37	1992	15	0	15	75	9-Août	19-Sept	24	37	188	560

### Services Nord-Américain des Glaces

38	1965	0	10	0	70	25-Août	25-Sept	25	32	173	182
39	2001	0	25	15	25	17-Août	8-Oct	26	52	172	262
40	1980	15	25	15	25	5-Août	30-Sept	11	42	159	426
41	1953	0	0	5	35	27-Juill	16-Sept	5	52	157	213
42	1976	0	15	0	15	15-Août	7-Oct	21	53	150	106
43	1971	0	0	0	30	23-Août	1-Nov	8	71	147	166
44	1991	0	0	0	20	16-Août	2-Oct	0	46	111	199
45	1960	0	0	20	20	5-Août	7-Sept	0	34	110	231
46	1988	0	0	0	25	9-Août	20-Sept	0	32	110	354
47	1964	0	0	0	5	13-Août	20-Sept	0	39	95	536
48	1983	0	10	0	10	8-Août	16-Sept	0	21	92	41
49	1970	0	0	5	0	6-Août	14-Sept	0	32	87	251
50	1956	0	0	0	40	7-Sept	30-Sept	0	24	87	93
51	1969	0	0	0	30	7-Sept	18-Sept	5	12	70	157
52	1955	0	0	5	15	13-Sept	24-Sept	0	12	44	44
53	1975	5	0	5	0	JAMAIS	JAMAIS	0	0	0	8

1 - Distance de Point Barrow vers le nord jusqu'à la lisière de glace (10 Août)

2 - Distance de Point Barrow vers le nord jusqu'à la lisière de glace (15 Sept)

3 - Distance de Point Barrow vers le nord jusqu'à la limite de la glace de cinq dixièmes de concentration (10 Août)

4 - Distance de Point Barrow vers le nord jusqu'à la limite de la glace de cinq dixièmes de concentration (15 Sept)

5 - Date initiale à laquelle la route jusqu'à Prudhoe Bay est d'une concentration égale ou inférieure à cinq dixièmes sur toute sa longueur.

6 - Date à laquelle la concentration et l'épaisseur de la glace justifient la fin des mesures de navigation difficile.

7 - Nombre de jours où la route de navigation jusqu'à Prudhoe Bay est en eau libre de glace sur toute sa longueur.

8 - Nombre de jours où la route de navigation jusqu'à Prudhoe Bay est d'une concentration égale ou inférieure à cinq dixièmes sur toute sa longueur.

## **Annexe A – Clé du symbolisme internationale de glaces de mer**

Pour obtenir plus de renseignements sur cette section, veuillez consulter le site internet du service canadien des glaces à l'adresse suivante:

<http://ice.ec.gc.ca/App/WsvPageDsp.cfm?ID=11170&LnId=32&Lang=fre>

ou le site du «National Ice Center» à l'adresse suivante:

[http://www.natice.noaa.gov/egg\\_code/index.html](http://www.natice.noaa.gov/egg_code/index.html)

## **Annexe B – Stade de formation de la glace de mer**

Pour obtenir plus de renseignements sur cette section, veuillez consulter le site internet du service canadien des glaces à l'adresse suivante:

<http://ice.ec.gc.ca/App/WsvPageDsp.cfm?ID=11170&LnId=32&Lang=fre>

## **Annexe C - Horaire de radiodiffusion des conditions glacielles et maritimes dans l'Arctique.**

Pour obtenir plus de renseignements sur cette section veuillez consulter les sites internet aux adresses suivantes:

Garde côtière canadienne:

[http://www.ccg-gcc.gc.ca/mcts-sctm/ramn\\_arNm/Atlantic/part\\_5\\_f.htm](http://www.ccg-gcc.gc.ca/mcts-sctm/ramn_arNm/Atlantic/part_5_f.htm)

“Alaska Marine VHF Voice”:

<http://www.nws.noaa.gov/om/marine/akvhfv.htm>

“NOAA MF/HF Voice – 4125kHz”:

<http://www.nws.noaa.gov/om/marine/noahfv.htm>

“NOAA Weather Radio” sur les sites de la garde côtière américaine en Alaska:

<http://www.nws.noaa.gov/om/marine/aknwr.htm>

Pour plus de détails sur ces services, veuillez contacter le Service canadien des Glaces par téléphone au (613) 996-1550 ou par courriel à l'adresse [cis-scg.client@ec.gc.ca](mailto:cis-scg.client@ec.gc.ca) ou le «National ice center» par téléphone au (301) 394-3050 ou par courriel à [liaison@natice.noaa.gov](mailto:liaison@natice.noaa.gov).